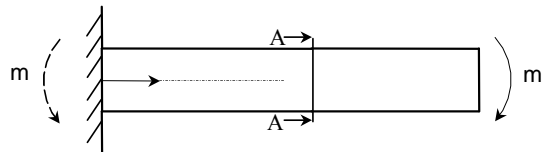


FORMULARIO DI COSTRUZIONE DI MACCHINE E LABORATORIO

AA. 2014-2015

SOLLECITAZIONI SEMPLICI

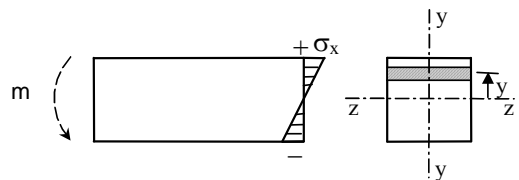
Sforzo Normale: $N = \sigma A$



Flessione pura

$$\sigma_z = \frac{M_{z-z}}{J_{z-z}} y,$$

$$\sigma_{x,\max} = \pm \frac{M_{z-z}}{J_{z-z}} y_{\max} = \pm \frac{M_{z-z}}{W_{z-z}}$$



Sez. A-A

Calcolo di J_{z-z}

Sezione quadrata di base B ed altezza H : $J_{z-z} = \frac{1}{12} BH^3$

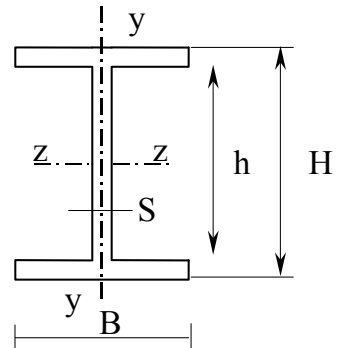
Sezione circolare $J_{z-z} = J_{y-y} = \frac{\pi}{4} R^4 = \frac{\pi}{64} D^4$;

Sezione annulare $J_{z-z} = \frac{\pi}{4} (R_e^4 - R_i^4)$

$J_{z-z} = \frac{1}{12} BH^3 - \frac{1}{12} (B-S)h^3$

Sezione a doppia T:

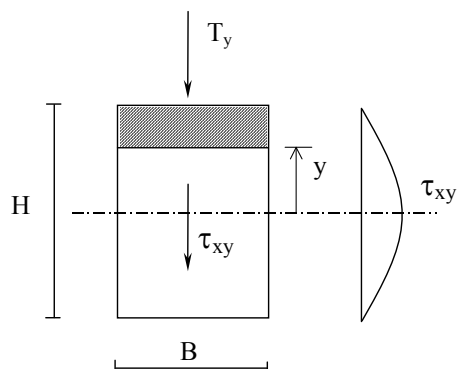
$$J_{y-y} = \frac{1}{12} (H-h)B^3 + \frac{1}{12} h S^3$$



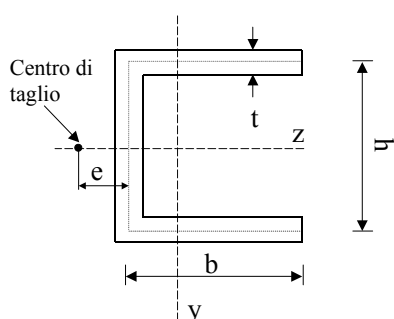
Taglio

$$\tau_{xy} = \frac{T_y}{J_{z-z} b} S_{z-z}$$

Per una sezione rettangolare $S_{z-z} = \frac{B}{2} \left(\frac{H^2}{4} - y^2 \right)$



Centro di taglio per una sezione a C



$$e = \frac{t b^2 h^2}{4 J_{zz}}$$

Torsione

- *Sezione circolare diametro D*

$$\tau = \frac{M_t}{J_p} r, \quad J_p = \frac{\pi}{32} D^4$$

$$\tau_{\max} = M_t / W_t \quad W_t = \pi / 16 \cdot D^3$$

$$\text{Angolo unitario: } \theta_u = \frac{\gamma}{r} = \frac{\tau}{G \cdot r} = \frac{M_t}{G \cdot J_p}$$

$$\text{Angolo totale di torsione riferito a una trave di lunghezza } L: \theta = \frac{M_t}{G \cdot J_p} L$$

- *Trave a parete sottile*

$$\tau = \frac{M_t}{2 t A^*} \quad \text{dove } A^* \text{ è l'area media}$$

$$\theta_u = \frac{M_t}{4 G A^{*2}} \frac{L_m}{t}$$

Se lo spessore t è costante tratti (così come avviene sulle travi a cassone) si avrà:

$$\theta_u = \frac{M_t}{4 G A^{*2}} \sum_i \frac{L_i}{t_i}$$

dove t_i è lo spessore del tratto i -esimo di lunghezza L_i .

- *Sezioni a profilo aperto:*

$$\tau_{\max} = \beta \frac{M_t}{b t^2} \quad \theta_u = \beta \frac{M_t}{G b t^3}$$

b/t	∞	10	5	3	2.5	2	1.5	1
β	3	3.2	3.44	3.74	3.86	4.06	4.33	4.80

Nel caso di sezione rettangolare con $L > 3t$:

$$\tau_{\max} = \frac{M_t}{J_t} t_{i,\max}$$

$$\theta_u \approx \frac{M_t}{G J_t}$$

$$\text{essendo } J_t = \frac{1}{3} \sum_i L_i t_i^3$$

CRITERI DI RESISTENZA

1. Criterio della τ massima (criterio di Guest)

$$\sigma_{id} = \sigma_1 - \sigma_3$$

Per uno stato piano di tensione:

$$\sigma_{id} = \sqrt{(\sigma_x - \sigma_y)^2 + 4\tau_{xy}^2}$$

2. Criterio della densità di energia di deformazione totale (criterio di Beltrami)

$$\sigma_{id} = \sqrt{\sigma_1^2 + \sigma_2^2 + \sigma_3^2 - 2\nu(\sigma_1\sigma_2 + \sigma_2\sigma_3 + \sigma_1\sigma_3)}$$

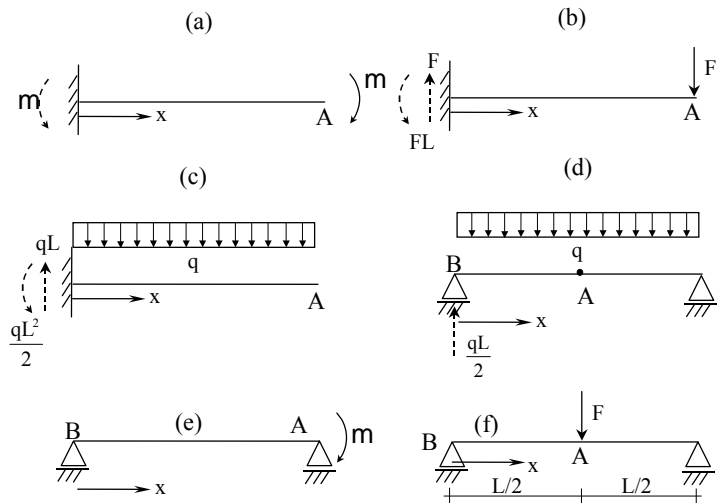
3. Criterio della densità di energia di deformazione deviatorica (criterio di von Mises)

$$\sigma_{id} = \sqrt{(\sigma_1^2 + \sigma_2^2 + \sigma_3^2) - (\sigma_1\sigma_2 + \sigma_2\sigma_3 + \sigma_1\sigma_3)}$$

Per uno stato piano di tensione

$$\sigma_{id} = \sqrt{\sigma_x^2 + \sigma_y^2 - \sigma_x\sigma_y + 3\tau_{xy}^2}$$

EQUAZIONE DELLA LINEA ELASTICA: $\frac{d^2\eta}{dx^2} = -\frac{M(x)}{EJ}$



Caso (a): $\phi_A = \frac{mL}{EJ}, \quad \eta_A = \frac{1}{2} \frac{mL^2}{EJ};$

Caso (c): $\phi_A = \frac{1}{6} \frac{qL^3}{EJ}, \quad \eta_A = \frac{1}{8} \frac{qL^4}{EJ};$

Caso (e): $\phi_A = \frac{1}{3} \frac{ML}{EJ}, \quad \phi_B = -\frac{1}{6} \frac{ML}{EJ};$

Caso (b): $\phi_A = \frac{1}{2} \frac{FL^2}{EJ}, \quad \eta_A = \frac{1}{3} \frac{FL^3}{EJ}$

Caso (d): $\phi_B = \frac{1}{24} \frac{qL^3}{EJ}, \quad \eta_A = \frac{5}{384} \frac{qL^4}{EJ}$

Caso (f): $\phi_B = \frac{1}{16} \frac{FL^2}{EJ}, \quad \eta_A = \frac{1}{48} \frac{FL^3}{EJ}$

TRAVI CURVE

Raggio neutro: $r_n = A / \int_A \frac{dA}{r}$:

- Sezione rettangolare di base b e altezza h : $r_n = h / \ln(r_e / r_i)$
- Sezione circolare: $r_n = (\sqrt{r_e} + \sqrt{r_i})^2 / 4$

Distribuzione di tensione: $\sigma_z = \frac{M_f y}{rA(r_g - r_n)} = \sigma_z = \frac{M_f y}{rA\delta}$

FATICA

$$\sigma_a = \frac{\sigma_{max} - \sigma_{min}}{2}, \quad \sigma_m = \frac{\sigma_{max} + \sigma_{min}}{2}, \quad R = \frac{\sigma_{min}}{\sigma_{max}}, \quad \sigma_{max} = \frac{2\sigma_a}{1-R}, \quad \sigma_{max} = \frac{2\sigma_m}{1+R}, \quad \sigma_a = \frac{1-R}{1+R}\sigma_m$$

Tratto inclinato della curva di Wöhler: $(\sigma_a)^k N = \cos t$

$$\sigma_{A,componente, 2 \cdot 10^6} = \frac{\sigma_{A,mat base}}{K_f K_d K_L}$$

$$k = \frac{\log(2 \cdot 10^3)}{\log\left(\frac{\sigma_R}{\sigma_{A,componente, 2 \cdot 10^6}}\right)} \quad (\text{per } R=-1)$$

- **Sensibilità all'intaglio:** $K_f = 1 + q(K_t - 1)$, $q = \begin{cases} 1/(1 + a/r) & \text{se } r < 2 \\ 1 & \text{se } r \geq 2 \end{cases}$
- **Effetto della tensione media e R:** $\sigma_A(\sigma_m^*) = \sigma_{A,R=-1}\left(1 - \frac{\sigma_m^*}{\sigma_R}\right)$, $\sigma_A(R^*) = \frac{\sigma_{A,R=-1}\sigma_R}{\left(\frac{1+R}{1-R}\right)\sigma_{A,R=-1} + \sigma_R}$

MEMBRANE

Equazione caratteristica: $\frac{\sigma_t}{R_t} + \frac{\sigma_m}{R_m} = \frac{p}{t}$

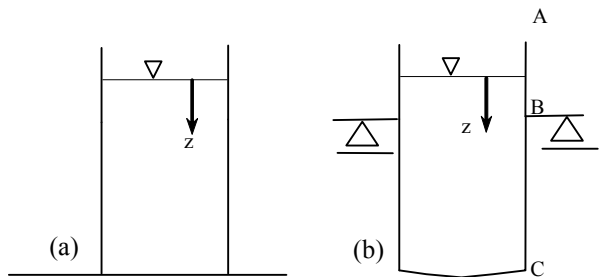
1. Recipiente cilindrico a parete sottile di spessore t , dotato di due fondi di estremità semisferici di raggio R_0 .

- Parete cilindrica: $\sigma_t = \frac{p}{t} R_0$, $\sigma_m = \frac{pR_0}{2t} = \frac{\sigma_t}{2}$
- Fondo semisferico: $\sigma_t = \sigma_m = \frac{pR_0}{2t}$

2. Serbatoio cilindrico di raggio R_0 e spessore t , contenente un fluido di peso specifico γ

$$\text{Tensione trasversale: } \sigma_t = \frac{\gamma z}{t} R_0$$

Tensione meridiana:



Caso (a): è nulla sulle pareti cilindriche del recipiente;

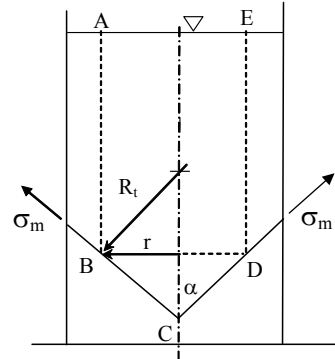
Caso (b): è nulla nel tratto AB. Nel tratto BC, $W = 2\pi\sigma_m R_0 t$ dove W è il peso del fluido

3. Recipiente con pareti cilindriche di raggio R e spessore t e fondo conico

$$R_t = \frac{r}{\cos \alpha}$$

$$\text{Parete cilindrica: } \sigma_t = \frac{\gamma z}{t} R_0$$

$$\text{Punto B: } \sigma_t = \frac{\gamma z_B r}{t \cos \alpha}, \quad W_{ABCDE} = 2\pi\sigma_m r t \cos(\alpha)$$



MATRICI DI RIGIDEZZA

- Asta nel proprio sistema di riferimento:** $[K] = \frac{EA}{L} \begin{bmatrix} 1 & -1 \\ -1 & 1 \end{bmatrix}$

- Asta nel sistema di riferimento di struttura:** $[\bar{K}] = \frac{EA}{L} \begin{bmatrix} A & -A \\ -A & A \end{bmatrix}$

dove il minore [A] vale: $[A] = \begin{bmatrix} \ell_x^2 & \ell_x m_x \\ \ell_x m_x & m_x^2 \end{bmatrix}$

- Trave:**

$$[K] = \begin{bmatrix} EA/L & 0 & 0 & -EA/L & 0 & 0 \\ 0 & M & T & 0 & -M & T \\ 0 & T & 2S & 0 & -T & S \\ -EA/L & 0 & 0 & -EA/L & 0 & 0 \\ 0 & -M & -T & 0 & M & -T \\ 0 & T & S & 0 & -T & 2S \end{bmatrix} \quad M = \frac{12EJ}{L^3} \quad T = \frac{6EJ}{L^2} \quad S = \frac{2EJ}{L}$$